

# WYNIKI CIĄGŁYCH POMIARÓW HAŁASU W ŚRODOWISKU

## DLA LOTNISKA CHOPINA W WARSZAWIE

Nazwa obiektu: Punkt pomiarowy nr 9 „Zamienie”

Data wykonania pomiaru:

początek: 01 - 09 - 2023

koniec: 30 - 09 - 2023

Lokalizacja punktu pomiarowego: Zamienie, ul. Błędna 32

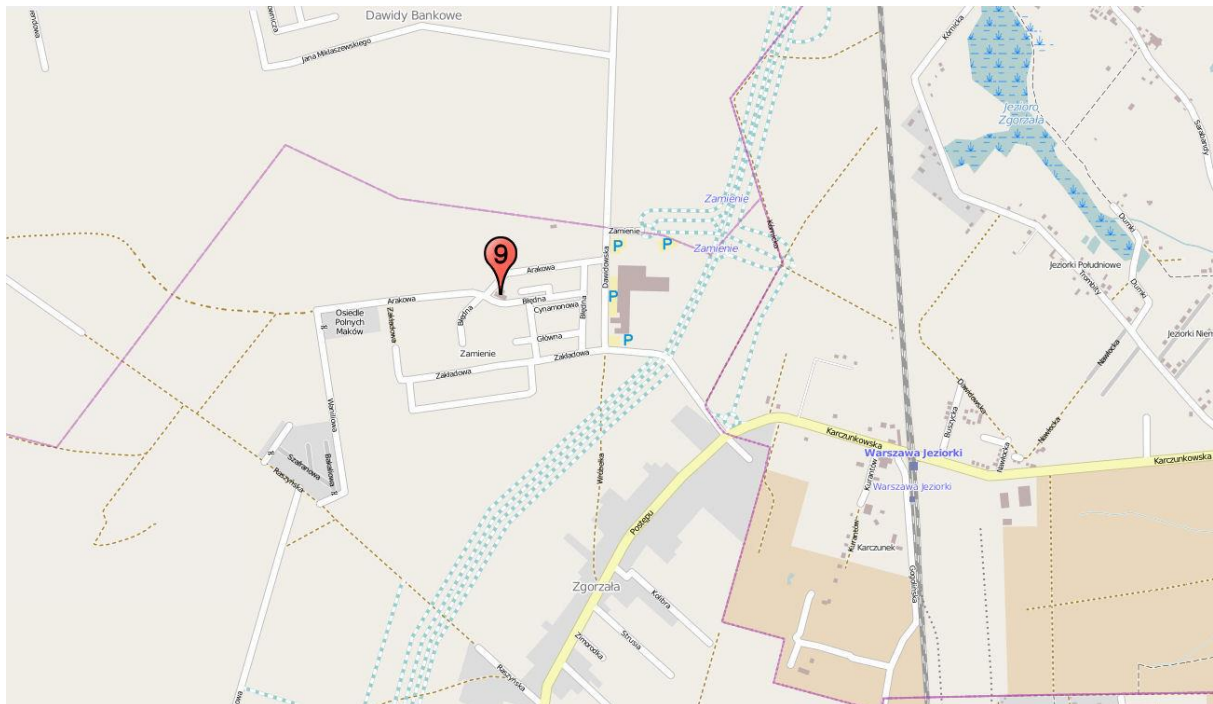
Układ współrzędnych: WGS 84

Szerokość geograficzna: N 52° 06' 53,6"

Długość geograficzna: E 20° 58' 27,4"

Względna wysokość punktu pomiarowego [m]: 12

### Lokalizacja na planie:



### Metoda badań:

Metoda ciągłych lub okresowych pomiarów monitoringowych: metodyka referencyjna, określona w załączniku nr 1 do rozporządzenia Ministra Środowiska z dnia 16.06.2011 w sprawie wymagań w zakresie prowadzenia pomiarów poziomów substancji lub energii w środowisku przez zarządzającego drogą, linią kolejową, linią tramwajową, lotniskiem, portem.

Metody obliczeniowe: jw.

### Aparatura pomiarowa:

Analizator poziomu dźwięku (producent; nr typu): Lochard, EMU-2

Mikrofon/sonda mikrofonowa (producent; nr typu): Lochard, 41DM-2

Świadectwo uwierzytelnienia nr 00025848/02/2021 z dnia 14.05.2021r. wydane przez Laboratorium Akredytowane Nr AP 146

Wzorzec akustyczny (producent; nr typu): Brüel & Kjær; 4228

Równoważny poziom dźwięku w porze dnia i w porze nocy  
w odniesieniu do jednej doby, wg wskaźników  $L_{AeqD}$  i  $L_{AeqN}$   
powodowany przez starty, lądowania i przeloty statków  
powietrznych

Dzień miesiąca/ Wrzesień 2023 r.	Równoważny poziom dźwięku	
	Pora dnia $L_{AeqD}$ w dB	Pora nocy $L_{AeqN}$ w dB
1	0,0	35,0
2	0,0	0,0
3	0,0	0,0
4	0,0	33,4
5	0,0	0,0
6	0,0	0,0
7	28,6	41,9
8	0,0	0,0
9	0,0	39,6
10	42,7	37,2
11	31,2	0,0
12	0,0	39,2
13	28,6	0,0
14	0,0	0,0
15	36,6	43,0
16	35,2	38,6
17	39,7	40,0
18	37,9	40,1
19	29,6	0,0
20	0,0	32,7
21	38,7	42,0
22	36,3	41,9
23	0,0	0,0
24	0,0	0,0
25	39,8	41,0
26	37,9	42,4
27	37,1	42,7
28	38,7	41,9
29	34,3	39,8
30	0,0	0,0

Zgodnie z art. 112a ustawy – Prawo ochrony środowiska oraz rozporządzeniem Ministra Środowiska z dnia 16 czerwca 2011 r. *w sprawie wymagań w zakresie prowadzenia pomiarów poziomów substancji lub energii w środowisku przez zarządzającego drogą, linią kolejową, linią tramwajową, lotniskiem lub portem*, do ustalania i kontroli warunków korzystania ze środowiska mają zastosowanie wskaźniki hałasu odnoszące się do jednej doby:

- $L_{AeqD}$  – równoważny poziom dźwięku A dla pory dnia (rozumianej jako przedział czasu od godz. 6.00 do godz. 22.00),
- $L_{AeqN}$  – równoważny poziom dźwięku A dla pory nocy (rozumianej jako przedział czasu od godz. 22.00 do godz. 6.00).

Wyznaczone wartości tych wskaźników dla poszczególnych dni i nocy we wrześniu 2023 podano w tabeli powyżej.

W tabelach poniżej podano zestawienia zdarzeń akustycznych zarejestrowanych w punkcie pomiarowym, na podstawie których wyznaczono wartości wskaźników  $L_{AeqD}$  i  $L_{AeqN}$  dla poszczególnych dni i nocy w miesiącu.

Zestawienie zdarzeń akustycznych spowodowanych przelotami statków  
powietrznych w porze dnia ( przedział czasu pomiędzy godz. 06.00 – 22.00 )

Nr punktu pomiarowego	Data i godz. zdarzenia	Samolot	Operacja*	L <sub>Aeq</sub>	L <sub>Amax</sub>	L <sub>AE</sub>
				[dB]	[dB]	[dB]
9	01-09-2023 19:00:49	E170	A	60,9	64,6	71,7
9	02-09-2023 14:19:20	A21N	A	64,8	68,8	74,8
9	03-09-2023 15:45:55	E195	A	67,5	70,8	80,7
9	04-09-2023 11:43:02	C56X	A	72,6	78,4	84,7
9	04-09-2023 18:20:29	C295	A	63,6	67,5	74,0
9	04-09-2023 18:55:28	E170	A	62,7	66,5	73,1
9	05-09-2023 18:14:06	A21N	A	67,8	71,2	78,2
9	05-09-2023 21:05:10	E190	A	64,0	66,6	74,0
9	07-09-2023 09:40:59	E170	A	69,6	73,8	89,2
9	07-09-2023 16:49:15	CRJ9	A	70,1	76,2	79,1
9	07-09-2023 20:10:01	E195	D	63,0	63,9	73,4
9	08-09-2023 19:46:21	B38M	A	65,5	68,8	75,0
9	09-09-2023 06:05:20	B38M	A	67,7	71,4	77,3
9	09-09-2023 19:34:09	E75S	A	64,2	68,7	76,0
9	10-09-2023 06:29:44	A321	D	67,3	68,6	78,1
9	10-09-2023 06:45:11	A321	D	72,6	74,9	86,3
9	10-09-2023 14:57:31	A21N	D	70,4	73,7	80,4
9	10-09-2023 18:08:32	A333	D	65,5	67,6	78,3
9	10-09-2023 18:30:38	A320	D	63,7	64,8	74,1
9	10-09-2023 18:46:37	A320	D	66,6	71,1	76,2
9	10-09-2023 19:20:15	B738	D	63,5	64,6	74,3
9	10-09-2023 19:31:25	A320	D	63,6	64,5	76,4
9	10-09-2023 19:46:07	A321	D	63,0	64,1	72,0
9	10-09-2023 20:10:15	E195	D	65,2	67,5	74,2
9	10-09-2023 20:12:33	B789	D	68,3	78,6	84,7
9	10-09-2023 21:00:58	B738	D	62,7	63,5	74,2
9	10-09-2023 21:04:36	A320	D	68,6	73,4	83,3
9	10-09-2023 21:08:17	B738	D	64,2	65,4	76,9
9	11-09-2023 09:59:56	BCS3	D	67,7	69,2	78,8
9	11-09-2023 20:33:12	B38M	A	66,5	70,7	75,5
9	12-09-2023 14:08:40	B38M	A	68,0	70,7	77,0
9	12-09-2023 14:10:53	A21N	A	65,7	68,1	76,5
9	13-09-2023 13:43:28	E195	D	66,5	70,2	77,0
9	14-09-2023 18:58:53	E190	A	64,7	67,3	75,8
9	15-09-2023 15:10:04	B733	D	68,5	71,3	78,9
9	15-09-2023 15:34:20	E195	D	72,1	75,3	84,9
9	15-09-2023 18:19:04	A319	D	63,2	64,8	74,4
9	15-09-2023 18:45:53	A20N	D	64,6	65,9	74,6
9	15-09-2023 19:07:14	B738	D	65,2	66,8	77,0
9	15-09-2023 19:56:16	E75L	D	63,3	64,9	77,5
9	16-09-2023 19:06:17	C295	D	64,1	65,4	74,1
9	16-09-2023 19:25:15	B739	D	63,8	64,9	72,9
9	16-09-2023 19:44:14	E195	D	67,9	71,4	82,3
9	16-09-2023 19:54:24	B738	D	64,6	68,0	78,2
9	16-09-2023 20:22:35	E75S	D	64,9	69,9	77,9
9	16-09-2023 20:46:59	E75S	D	66,1	69,6	78,1
9	17-09-2023 18:22:36	A333	D	63,8	65,8	73,3
9	17-09-2023 19:20:42	CRJ9	D	64,9	65,7	84,4
9	17-09-2023 19:36:21	B738	D	72,1	75,8	86,6
9	17-09-2023 19:53:49	A320	D	71,7	74,6	84,9
9	17-09-2023 19:58:39	E195	D	71,4	75,6	85,5
9	17-09-2023 20:01:14	E75L	D	63,4	64,1	72,9
9	17-09-2023 20:35:03	A321	D	62,9	65,1	72,0
9	17-09-2023 21:45:31	A320	D	63,7	65,1	75,5

9	18-09-2023 18:06:49	E170	D	63,2	64,8	76,5
9	18-09-2023 18:09:03	A321	D	63,4	64,9	77,2
9	18-09-2023 18:10:52	A333	D	65,7	69,7	80,6
9	18-09-2023 18:36:12	E195	D	63,4	65,4	73,4
9	18-09-2023 18:39:38	A319	D	64,8	66,8	77,6
9	19-09-2023 06:11:11	A21N	D	69,9	74,5	78,9
9	19-09-2023 11:55:00	CL35	A	63,7	69,3	73,7
9	21-09-2023 18:15:00	A321	D	63,9	66,5	76,6
9	21-09-2023 18:28:26	A319	D	63,9	66,4	75,9
9	21-09-2023 19:30:01	A21N	D	63,1	64,9	72,7
9	21-09-2023 20:22:32	E75S	D	66,8	71,7	80,9
9	21-09-2023 20:40:24	E190	D	64,2	66,1	76,8
9	21-09-2023 20:49:22	B735	D	63,1	65,0	74,8
9	21-09-2023 21:21:49	B738	D	63,9	65,4	73,9
9	21-09-2023 21:47:04	B738	D	64,9	66,3	78,1
9	21-09-2023 21:58:59	B734	D	62,4	64,6	74,4
9	22-09-2023 07:04:59	A21N	D	65,9	67,6	76,7
9	22-09-2023 19:10:12	B738	D	66,6	70,8	82,1
9	22-09-2023 19:46:57	E195	D	63,3	65,4	74,1
9	22-09-2023 20:44:05	E75S	D	65,5	67,6	78,8
9	22-09-2023 21:40:29	B738	D	63,5	65,3	76,5
9	22-09-2023 21:59:29	B734	D	63,9	67,5	76,2
9	24-09-2023 06:19:26	E190	A	67,1	69,2	77,1
9	24-09-2023 06:21:22	E75S	A	71,5	75,3	80,5
9	25-09-2023 18:18:02	A321	D	62,3	64,1	72,8
9	25-09-2023 18:19:43	A319	D	63,2	64,2	73,2
9	25-09-2023 18:36:26	E75S	D	64,6	67,2	76,9
9	25-09-2023 18:58:10	B738	D	63,5	65,4	76,3
9	25-09-2023 19:12:37	B738	D	66,3	71,2	80,2
9	25-09-2023 19:17:48	A21N	D	64,7	67,2	75,5
9	25-09-2023 19:19:12	A320	D	64,0	64,9	76,8
9	25-09-2023 20:45:44	A320	D	64,0	64,7	74,0
9	26-09-2023 13:28:15	A321	D	69,4	73,4	82,4
9	26-09-2023 18:07:04	A333	D	66,3	68,8	81,2
9	26-09-2023 18:57:27	B738	D	64,3	66,1	78,6
9	26-09-2023 20:13:03	E195	D	64,2	66,3	74,6
9	26-09-2023 21:05:07	B763	D	64,6	66,3	77,1
9	27-09-2023 07:20:35	E195	D	66,6	71,3	77,4
9	27-09-2023 11:15:45	E195	D	65,2	68,0	76,3
9	27-09-2023 11:34:20	E190	D	67,0	72,4	77,4
9	27-09-2023 18:22:50	B738	D	63,0	64,1	73,0
9	27-09-2023 19:24:58	A321	D	63,9	64,9	77,5
9	27-09-2023 19:47:58	E195	D	62,7	63,2	71,7
9	28-09-2023 06:16:50	B738	D	67,4	70,1	80,6
9	28-09-2023 18:04:16	A333	D	68,9	72,8	84,8
9	28-09-2023 18:24:39	A319	D	68,0	71,0	82,2
9	28-09-2023 19:05:04	A321	D	65,8	68,8	78,8
9	28-09-2023 19:12:55	B738	D	64,0	64,8	77,0
9	28-09-2023 21:27:37	B738	D	63,0	63,6	72,0
9	29-09-2023 07:38:08	B38M	D	66,0	68,9	76,8
9	29-09-2023 15:51:57	B38M	D	66,7	70,0	76,2
9	29-09-2023 15:55:17	E195	D	67,2	71,1	80,0
9	29-09-2023 18:08:41	A333	D	63,0	64,4	75,3

Zestawienie zdarzeń akustycznych spowodowanych przelotami statków  
powietrznych w porze nocy ( przedział czasu pomiędzy godz. 22.00 – 06.00 )

Nr punktu pomiarowego	Data i godz. zdarzenia	Samolot	Operacja*	L <sub>Aeq</sub>	L <sub>Amax</sub>	L <sub>AE</sub>
				[dB]	[dB]	[dB]
9	01-09-2023 23:29:58	E190	D	61,2	62,4	75,7
9	01-09-2023 23:40:08	E170	D	61,0	61,4	71,0
9	01-09-2023 23:42:49	E195	D	60,2	60,7	72,8
9	02-09-2023 05:53:59	A321	A	59,9	64,4	68,9
9	04-09-2023 05:41:52	B738	A	63,8	66,3	75,0
9	04-09-2023 05:44:09	B752	A	65,1	71,0	80,8
9	04-09-2023 22:19:38	B38M	A	63,8	67,5	75,6
9	04-09-2023 22:34:40	GA5C	A	60,5	62,8	69,6
9	05-09-2023 00:16:54	B738	D	60,5	61,1	70,0
9	05-09-2023 02:02:12	B739	D	60,2	60,8	69,7
9	05-09-2023 05:46:06	A306	A	61,2	65,1	72,3
9	07-09-2023 05:53:50	B738	A	65,3	69,4	76,1
9	07-09-2023 22:18:40	A306	D	61,7	63,0	75,1
9	07-09-2023 22:43:31	E190	D	60,2	61,2	69,3
9	07-09-2023 23:06:30	E75S	D	60,3	60,8	69,8
9	07-09-2023 23:08:12	E195	D	61,1	62,4	73,1
9	07-09-2023 23:10:06	E195	D	61,2	61,8	70,2
9	07-09-2023 23:12:20	E195	D	61,0	62,2	73,8
9	07-09-2023 23:19:15	E75S	D	61,7	62,5	72,1
9	07-09-2023 23:25:49	E170	D	64,7	69,8	79,5
9	08-09-2023 00:01:03	B738	D	63,2	64,7	76,4
9	08-09-2023 05:50:57	A21N	D	63,2	71,0	82,6
9	09-09-2023 22:36:26	B738	D	62,3	64,2	76,3
9	09-09-2023 22:42:25	E190	D	59,9	60,4	70,4
9	09-09-2023 23:03:34	B738	D	62,7	64,3	76,5
9	09-09-2023 23:05:53	E75S	D	60,4	61,6	73,8
9	09-09-2023 23:08:27	E195	D	61,0	63,0	74,2
9	09-09-2023 23:16:40	E190	D	61,1	62,7	74,9
9	09-09-2023 23:35:05	A21N	D	66,6	69,8	81,8
9	10-09-2023 22:10:11	B738	D	60,6	61,4	73,6
9	10-09-2023 23:07:49	E195	D	61,3	63,3	71,7
9	10-09-2023 23:20:13	E190	D	59,9	60,6	68,9
9	10-09-2023 23:44:56	E195	D	60,2	61,4	69,3
9	12-09-2023 22:15:17	A306	D	62,2	65,5	78,9
9	12-09-2023 22:19:58	B734	D	61,3	61,9	71,3
9	12-09-2023 22:59:16	E190	D	60,5	60,8	70,5
9	12-09-2023 23:26:26	B738	D	61,2	62,0	71,9
9	12-09-2023 23:35:55	E195	D	61,2	61,7	71,6
9	13-09-2023 05:55:00	B38M	D	62,7	66,3	76,7
9	13-09-2023 05:57:25	B38M	D	63,4	66,5	73,8
9	13-09-2023 22:06:49	E195	A	69,7	72,7	89,3
9	13-09-2023 22:09:49	B738	A	63,4	66,6	77,6
9	13-09-2023 22:11:54	B738	A	61,9	63,6	76,4
9	13-09-2023 22:14:09	B38M	A	62,7	65,3	76,5
9	15-09-2023 22:10:56	A306	D	62,5	64,8	80,8
9	15-09-2023 22:18:08	B738	D	62,0	63,6	72,0
9	15-09-2023 22:44:47	B738	D	61,3	63,1	74,3
9	15-09-2023 22:47:27	E75S	D	60,8	61,7	73,8
9	15-09-2023 22:53:10	E170	D	61,0	63,0	75,8
9	15-09-2023 22:56:20	E195	D	61,1	62,7	71,9
9	15-09-2023 23:04:59	E75S	D	59,7	60,5	71,2
9	15-09-2023 23:09:38	E195	D	62,0	64,3	74,8
9	15-09-2023 23:13:36	E195	D	62,0	64,5	74,8
9	15-09-2023 23:15:49	E195	D	61,6	62,0	71,1

9	15-09-2023 23:19:08	E75S	D	60,9	62,2	70,9
9	15-09-2023 23:24:36	E75S	D	60,1	61,4	75,0
9	15-09-2023 23:32:28	B738	D	60,2	62,2	72,5
9	16-09-2023 22:43:47	E170	D	60,7	62,1	73,5
9	16-09-2023 22:47:11	E190	D	60,1	61,3	69,7
9	16-09-2023 23:00:14	E75S	D	64,9	69,3	81,0
9	16-09-2023 23:13:21	E195	D	61,7	63,7	75,9
9	16-09-2023 23:33:01	B738	D	61,8	63,7	76,1
9	16-09-2023 23:41:51	E195	D	62,7	65,2	76,9
9	17-09-2023 22:31:02	E75S	D	60,4	60,9	70,4
9	17-09-2023 22:59:01	B738	D	60,4	61,4	69,4
9	17-09-2023 23:04:32	E170	D	60,3	60,6	69,8
9	17-09-2023 23:13:08	B738	D	63,7	66,7	77,8
9	17-09-2023 23:17:13	E195	D	60,2	60,8	69,7
9	17-09-2023 23:25:40	E190	D	60,4	61,3	73,6
9	17-09-2023 23:29:43	E195	D	60,4	61,2	69,4
9	18-09-2023 01:00:26	E75S	D	60,3	60,9	69,3
9	18-09-2023 22:18:40	A306	D	62,8	66,1	81,5
9	18-09-2023 22:34:45	B738	D	61,8	64,0	75,0
9	18-09-2023 23:02:30	E170	D	60,6	62,7	73,6
9	18-09-2023 23:10:41	E195	D	60,5	62,8	71,9
9	19-09-2023 00:01:15	B738	D	60,8	62,7	73,8
9	19-09-2023 00:42:52	E190	D	60,1	61,0	70,9
9	21-09-2023 05:54:55	A21N	D	60,9	62,0	74,9
9	21-09-2023 22:05:08	A306	D	62,7	65,6	80,8
9	21-09-2023 22:34:53	E195	D	61,6	63,8	75,7
9	21-09-2023 22:38:13	E195	D	61,8	65,6	75,1
9	21-09-2023 22:51:50	A21N	D	60,7	63,5	73,3
9	21-09-2023 23:01:26	E75S	D	61,1	62,6	72,3
9	21-09-2023 23:28:41	E190	D	61,8	64,7	71,8
9	22-09-2023 00:13:20	E195	D	62,7	65,6	71,7
9	22-09-2023 00:15:09	E195	D	61,6	65,8	75,1
9	22-09-2023 00:19:55	E75S	D	60,9	62,7	71,7
9	22-09-2023 05:58:23	A21N	D	61,0	63,7	73,3
9	22-09-2023 22:11:41	A306	D	61,7	65,5	80,8
9	22-09-2023 22:58:04	E195	D	60,2	61,4	72,8
9	22-09-2023 23:19:21	E170	D	61,4	63,5	75,0
9	22-09-2023 23:24:26	E195	D	62,8	63,9	72,3
9	22-09-2023 23:29:49	E190	D	60,2	61,6	72,9
9	22-09-2023 23:39:09	E170	D	59,9	61,1	68,9
9	22-09-2023 23:45:06	B738	D	60,9	61,8	71,7
9	22-09-2023 23:49:39	E195	D	60,4	61,8	73,2
9	22-09-2023 23:54:12	E195	D	60,4	61,1	69,4
9	23-09-2023 00:42:16	B733	D	60,4	62,5	70,8
9	25-09-2023 22:05:22	B738	D	61,7	62,6	74,5
9	25-09-2023 22:08:33	A306	D	61,7	64,2	81,3
9	25-09-2023 22:32:27	A20N	D	60,2	61,5	72,5
9	25-09-2023 22:44:19	E170	D	60,4	61,9	71,2
9	25-09-2023 22:58:04	E75S	D	61,3	63,1	74,8
9	25-09-2023 23:15:44	E190	D	61,2	63,3	74,2
9	25-09-2023 23:25:58	B738	D	62,7	66,9	81,0
9	25-09-2023 23:37:19	E190	D	61,3	63,4	72,1
9	25-09-2023 23:43:26	E195	D	62,4	65,0	72,8
9	26-09-2023 22:02:36	B734	D	60,3	60,6	70,3
9	26-09-2023 22:14:42	A306	D	62,9	66,1	82,0
9	26-09-2023 22:19:13	B738	D	60,0	61,2	72,8
9	26-09-2023 22:50:17	E170	D	63,0	65,6	77,6
9	26-09-2023 22:55:04	E75S	D	59,9	61,0	69,9
9	26-09-2023 23:16:15	E195	D	61,4	63,0	73,7

9	26-09-2023 23:19:40	E190	D	60,4	61,6	72,7
9	26-09-2023 23:24:49	B738	D	61,9	64,1	75,7
9	26-09-2023 23:27:38	B738	D	61,9	64,4	76,5
9	27-09-2023 05:59:26	A321	D	60,4	61,1	73,2
9	27-09-2023 22:17:49	A306	D	61,9	63,8	79,2
9	27-09-2023 22:42:55	E170	D	60,8	61,6	71,2
9	27-09-2023 22:51:09	B738	D	62,2	64,3	76,5
9	27-09-2023 22:52:51	E75S	D	61,1	61,9	71,9
9	27-09-2023 22:54:16	E195	D	61,5	63,5	78,1
9	27-09-2023 22:58:31	E190	D	60,8	62,4	74,9
9	27-09-2023 23:09:14	E195	D	61,1	64,0	74,5
9	27-09-2023 23:14:22	E195	D	61,3	62,4	74,7
9	27-09-2023 23:17:19	E75S	D	60,5	61,6	70,5
9	27-09-2023 23:19:15	E170	D	60,4	60,6	69,9
9	27-09-2023 23:21:28	B738	D	61,4	62,8	75,2
9	27-09-2023 23:44:47	E190	D	61,5	62,7	73,5
9	28-09-2023 05:55:53	A21N	D	60,8	62,3	74,1
9	28-09-2023 22:01:07	E190	D	60,5	61,3	72,0
9	28-09-2023 22:20:03	A306	D	61,9	64,3	77,4
9	28-09-2023 22:24:42	E195	D	61,4	63,7	76,2
9	28-09-2023 22:28:56	A21N	D	61,0	63,1	70,6
9	28-09-2023 23:27:17	E195	D	61,2	62,7	74,5
9	28-09-2023 23:31:28	E195	D	62,0	64,1	75,6
9	28-09-2023 23:32:44	E190	D	61,3	62,2	70,3
9	28-09-2023 23:38:32	E170	D	60,3	61,6	72,4
9	28-09-2023 23:48:56	B738	D	61,9	64,9	74,2
9	28-09-2023 23:51:16	B738	D	60,5	63,0	71,3
9	29-09-2023 22:07:45	A306	D	61,9	64,9	80,8
9	29-09-2023 22:11:50	E190	D	60,3	61,3	70,3
9	29-09-2023 22:55:29	E75S	D	60,5	61,7	73,1
9	29-09-2023 22:58:34	E195	D	60,4	61,0	70,0
9	29-09-2023 23:14:56	E75S	D	60,0	61,2	69,1
9	29-09-2023 23:16:47	E75S	D	60,7	61,8	71,2
9	29-09-2023 23:42:19	B738	D	60,7	61,2	72,5

## LEGENDA

- Samolot – typ statku powietrznego
- Operacja: A – lądowanie, D – start, P - przelot
- $L_{Aeq}$  – równoważny poziom dźwięku dla zdarzenia akustycznego
- $L_{Amax}$  – maksymalny poziom dźwięku dla zdarzenia akustycznego
- $L_{AE}$  – ekspozycyjny poziom dźwięku dla zdarzenia akustycznego
- Kolorem niebieskim oznaczono zdarzenia akustyczne, które miały miejsce w czasie gdy nie były spełnione warunki meteorologiczne<sup>1</sup>, a także wystąpiły zakłócenia od innych źródeł hałasu.

<sup>1</sup> Warunki meteorologiczne określone w punkcie D "Referencyjnej metodyki wykonywania ciągłych pomiarów poziomów hałasu wprowadzanego do środowiska przez starty, lądowania i przeloty statków powietrznych w związku z eksploatacją lotnisk oraz kryteria lokalizacji punktów pomiarowych" (Załącznik nr 1 do rozporządzenia Ministra Środowiska z dnia 16 czerwca 2011 r. w sprawie wymagań w zakresie prowadzenia pomiarów poziomów substancji lub energii w środowisku przez zarządzającego drogą, linią kolejową, linią tramwajową, lotniskiem lub portem).

WARUNKI METEOROLOGICZNE DLA LOTNISKA:

Ustalane na wysokości: 106,51 m n.p.m

Wielkości ustalone	Wartości maksymalne	Wartości minimalne	Wartości średnie miesięczne
	w danym miesiącu	w danym miesiącu	
Temperatura [°C]	30,4	8,5	18,4
Wilgotność względna [%]	98	34	72
Ciśnienie atmosferyczne [hPa]	1017,6	993,4	1007,1

Miesięczna róża wiatrów

